

السُّلَامُ عَلَيْكُمْ وَرَحْمَةُ اللَّهِ وَبَرَّهُ

٦٦

١٠٢٥١٨



دانشگاه شهید بهشتی کرمان

دانشکده فنی مهندسی

بخش مهندسی شیمی

پایان نامه تحصیلی برای دریافت درجه کارشناسی ارشد مهندسی شیمی

پیش بینی میزان جذب آلانینده ها در شوینده های
ونتوري با مدلسازی ریاضی، شبکه های عصبی و
الگوریتم ژنتیک

استاد راهنما:

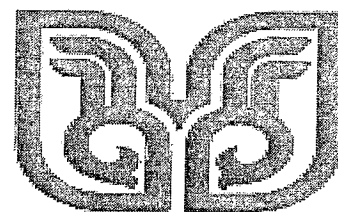
دکتر علی محبی

مؤلف:

محبوبه طاهری

۱۳۸۷ / ۹ / ۲۴

اسفند ماه ۱۳۸۶



دانشگاه شهید بهشتی کرمان

این پایان نامه به عنوان یکی از شرایط احراز درجه کارشناسی ارشد به

گروه: مهندسی شیمی
دانشکده: فنی و مهندسی
دانشگاه شهید بهشتی کرمان

تسلیم شده است و هیچگونه مدرکی به عنوان فراغت از تحصیل دوره مزبور شناخته نمی شود.

دانشجو: محبوبه طاهری

استاد راهنمای: دکتر علی محبی

استاد مشاور: —————

داور ۱: دکتر حسن هاشمی پور

داور ۲: دکتر عطا الله سلطانی

معاونت پژوهشی و تحقیقات تکمیلی یا نماینده تحصیلات تکمیلی دانشکده: دکتر مهین شفیعی

حق چاپ محفوظ و مخصوص به دانشگاه شهید بهشتی کرمان است.

دانشگاه شهید بهشتی کرمان
دانشگاهی تخصصی در زمینه تکنولوژی اسلامی
دانشگاهی تخصصی در زمینه تکنولوژی اسلامی

تقدیم به:

پدر و مادر عزیزم

که وجودشان برایم همه مهر، محبت و نعمت است،

با دلی آکنده از شرمساری بر دستانشان بوسه می زنم.

و تقدیم به:

برادر عزیزم و خواهر مهر بانم

همراهان صمیمی زندگی ام، دوستان همیشگی و یاران فداکارم

با هر چه عشق، نام تو را نتوان نوشت.

بی شک پیمودن مسیر پر فراز و نشیب علم آموزی میسر نمی گردید مگر به مدد الطاف
پروردگاری و لطف بیکران و محبت‌های خالصانه آنانی که در این راه همددم بودند.
از استاد راهنمای گرانقدر و بزرگوارم جناب آفای دکتر محبی که در امر راهنمایی و
بررسی این اثر، صبورانه زحمات فراوانی را متحمل شده‌اند، تشکر می‌نمایم.
تشکر خود را به داوران محترم این پایان‌نامه آقایان دکتر هاشمی‌پور رفسنجانی و دکتر
سلطانی گوهربیزی تقدیم داشته و زحماتشان را سپاس می‌گویم.

چکیده

شوینده‌های ونتوری یکی از مؤثرترین دستگاههای کنترل آلودگی هوا بشمار می‌روند. در این تحقیق به منظور شبیه‌سازی جذب گاز دی‌اکسید‌گوگرد (SO_2) در آب و هیدروکسید سدیم در شوینده ونتوری، یک مدل ریاضی سه بعدی ارائه شده است. مدل فوق که براساس توزیع نامنظم قطرات در عرض شوینده بنا گردیده براساس مدل پخشی در جریان گاز می‌باشد که با استفاده از توزیع غلظت قطرات در شوینده، معادله پیوستگی برای آلاینده گازی را حل می‌کند. همچنین فرآیند انتقال جرم هم به قطرات و هم به فیلم مایع روی دیواره درنظر گرفته شده است. در این مدل، جریان درون شوینده ونتوری مشابه جریان دوفازی حلقوی فرض شده است. جریان‌های دوفازی حلقوی شامل جریان یک لایه فیلم مایع روی دیواره دستگاه و یک جریان گاز محتوی قطرات مایع در مرکز می‌باشد.

در این تحقیق از روش حجم محدود برای حل معادلات دیفرانسیل پاره‌ای غلظت آلاینده‌ها در فاز گاز و غلظت قطرات، و از روش تفاضل محدود برای غلظت آلاینده‌ها در فاز مایع استفاده شده است. همچنین روش رانگ کاتای درجه چهار برای حل معادله سرعت قطره بکار گرفته شده است که کلیه معادلات حاکم توسط یک برنامه کامپیوترا در محیط نرم افزار Matlab کدنویسی شده‌اند.

از داده‌های تجربی ویسواناتان که توزیع غلظت قطرات در سطح مقطع شوینده ونتوری را می‌دهد، جهت تعیین عدد پکلت استفاده شده است. مدل جهت پیش‌بینی غلظت قطرات توافق خوبی با داده‌های تجربی نشان می‌دهد که میزان خطأ $0/587$ است. جهت بررسی دقت مدل موجود برای پیش‌بینی میزان جذب گاز از داده‌های تجربی ارائه شده توسط جانسون و همکاران و آزمایش‌های انجام شده توسط O.A.P استفاده شد. توافق خوب نتایج مدل پیشنهادی با داده‌های تجربی نشان‌دهنده قابلیت این مدل در پیش‌بینی راندمان جداسازی گاز در شوینده‌های ونتوری می‌باشد.

در مرحله بعد از شبکه‌های عصبی برای پیش‌بینی راندمان جداسازی ذرات و آلاینده‌های گازی در شوینده‌های ونتوری استفاده شد که تعداد نرون در لایه مخفی به روش حدس و خطای بدست آمد و نتایج رضایت‌بخشی حاصل گردید. برای افزایش کارایی شبکه‌های عصبی، الگوریتم ژنتیک برای بهینه‌سازی پارامترهای شبکه عصبی از جمله تعداد نرون در لایه مخفی، نرخ ممتومن و نرخ یادگیری بکار گرفته شد. با مقایسه ضرایب همبستگی شبیه‌سازی شبکه‌ها

در هر دو روش اصلاح وزن ممتومن و لونبرگ مارکورت، مشاهده شد که الگوریتم ژنتیک نتایج بهتری را نسبت به روش حدس و خطأ می‌دهد.

فهرست مطالب

| | |
|----|---|
| ۱ | فصل اول مقدمه |
| ۲ | ۱-۱ مقدمه‌ای بر آلدگی هوا |
| ۲ | ۲-۱ منابع آلدگی هوا |
| ۳ | ۳-۱ طبقه‌بندی آلاینده‌ها |
| ۳ | ۴-۱ طبقه‌بندی آلاینده‌ها بر حسب حالت ماده |
| ۳ | ۵-۱ اثرات آلدگی هوا |
| ۳ | ۱-۵-۱ اثرات آلدگی هوا بر سلامتی انسان |
| ۴ | ۱-۵-۲ اثرات آلدگی هوا بر داراییها |
| ۴ | ۱-۵-۳ اثرات آلدگی هوا بر قابلیت دید |
| ۴ | ۱-۵-۴ اثرات آلدگی هوا بر گیاهان |
| ۵ | ۶-۱ دستگاههای کنترل آلدگی هوا |
| ۶ | ۶-۱-۱ تهذیش کننده‌های ثقلی |
| ۶ | ۶-۱-۲ سیکلونها |
| ۷ | ۳-۶-۱ برجهای آپیاش |
| ۸ | ۴-۶-۱ شوینده‌های سیکلونی |
| ۸ | ۴-۶-۲ شوینده‌های ونتوری |
| ۱۱ | فصل دوم مروری بر کارهای گذشته |
| ۱۲ | ۱-۲ مروری بر مدل‌های ارائه شده جهت پیش‌بینی راندمان جداسازی |
| ۱۶ | ۱-۱-۲ مدل کالورت |
| ۱۹ | ۲-۱-۲ مدل طاهری و شیه |
| ۱۹ | ۱-۲-۱-۲ معادلات انتقال |
| ۲۰ | ۲-۲-۱-۲ سرعت قطرات آب |
| ۲۰ | ۳-۲-۱-۲ نفوذ گردابه‌ها |
| ۲۱ | ۴-۲-۱-۲ راندمان جداسازی |

| | |
|----|--|
| ۲۲ | ۳-۱-۲ مدل فتحی و همکاران |
| ۲۶ | ۴-۱-۲ مدل آنانثارایانان و ویسواناتان |
| ۲۷ | ۱-۴-۱-۲ حرکت قطرات |
| ۲۷ | ۲-۴-۱-۲ سرعت قطره مایع |
| ۲۸ | ۳-۴-۱-۲ نفوذ گردابه‌ها |
| ۲۸ | ۴-۴-۱-۲ حرکت ذره |
| ۲۸ | ۵-۴-۱-۲ تعیین راندمان جداسازی کلی |
| ۲۹ | ۵-۱-۲ مدل طلایی و همکاران |
| ۳۲ | فصل سوم مدلسازی ریاضی |
| ۳۳ | ۱-۳ مدلسازی ریاضی |
| ۳۶ | ۱-۱-۳ توزیع غلظت قطرات |
| ۳۸ | ۱-۱-۱-۳ ضریب نفوذ گردابه‌ای |
| ۴۱ | ۲-۱-۱-۳ سرعت قطرات، افت فشار و دبی فیلم مایع |
| ۴۷ | ۲-۱-۳ محاسبه N_A |
| ۴۹ | ۱-۲-۱-۳ محاسبه ضرایب انتقال جرم برای قطرات و فیلم مایع بر مبنای فاز گاز |
| ۴۹ | ۲-۲-۱-۳ محاسبه ضرایب انتقال جرم برای قطرات و فیلم مایع بر مبنای فاز مایع |
| ۵۱ | ۱-۲-۲-۱-۳ مکانیزم جذب در آب |
| ۵۲ | ۲-۲-۲-۱-۳ مکانیزم جذب در محلول آلکالین |
| ۵۲ | ۲-۳ معرفی پارامترهای استفاده شده در معادلات جداسازی |
| ۵۴ | ۳-۳ تعیین معادلات جداسازی به روش حجم محدود |
| ۵۴ | ۱-۳-۲ توزیع غلظت قطرات |
| ۶۲ | ۲-۳-۲ توزیع غلظت آلاینده‌ها در فاز گاز |
| ۷۰ | ۳-۳-۲ توزیع غلظت آلاینده‌ها در فاز مایع |
| ۷۶ | فصل چهارم شبکه‌های عصبی مصنوعی |
| ۷۷ | ۴-۱ شباهت با مغز |
| ۷۹ | ۴-۲ شبکه‌های عصبی |
| ۷۹ | ۴-۳ سلول عصبی مصنوعی |

| | |
|-----|---|
| ۸۰ | ۴-۳-۱ تقسیم‌بندی براساس ساختار |
| ۸۱ | ۴-۳-۲ تقسیم‌بندی براساس الگوریتم یادگیری |
| ۸۲ | ۴-۴ نگرش کلی بر آموزش شبکه |
| ۸۳ | ۴-۴-۱ حرکت به پیش |
| ۸۴ | ۴-۴-۲ برگشت به عقب- تنظیم وزنهای لایه خروجی |
| ۸۵ | ۴-۴-۳ تنظیم وزنهای لایه پنهان |
| ۸۵ | ۴-۴-۴ سلول عصبی بایاس در شبکه |
| ۸۶ | ۴-۷-۴ اندازه حرکت |
| ۸۷ | ۴-۸-۴ اندازه گام |
| ۸۷ | ۴-۹-۴ مبنای ریاضی الگوریتم انتشار برگشتی |
| ۹۰ | ۴-۱۰-۴ نحوه ارائه زوچهای آموزشی به شبکه |
| ۹۱ | ۴-۱۱-۴ تابع انتقال |
| ۹۲ | ۴-۱۲-۴ پایان آموزش |
| ۹۲ | ۴-۱۳-۴ تعداد نرون در لایه‌ها |
| ۹۳ | فصل پنجم الگوریتم ژنتیک |
| ۹۴ | ۴-۱-۵ مقدمه‌ای بر الگوریتم ژنتیک |
| ۹۵ | ۴-۲-۵ ساختار عمومی الگوریتم ژنتیک |
| ۹۶ | ۴-۳-۵ تولیدمثل |
| ۹۶ | ۴-۱-۳-۵ روش چرخ رولت |
| ۹۷ | ۴-۲-۳-۵ روش رقابتی |
| ۹۷ | ۴-۳-۳-۵ روش رتبه‌بندی |
| ۹۷ | ۴-۴-۵ عملگرهای ژنتیکی |
| ۹۷ | ۴-۱-۴-۵ پیوند |
| ۹۹ | ۴-۲-۴-۵ جهش |
| ۹۹ | ۴-۵-۵ همگرایی الگوریتم ژنتیک |
| ۱۰۰ | ۴-۶-۵ معیار توقف محاسبات الگوریتم ژنتیک |
| ۱۰۰ | ۴-۷-۵ معرفی نرم‌افزار NeuroSolution |

| | |
|-----|---|
| ۱۰۳ | فصل ششم نتایج |
| ۱۰۴ | ۱-۶ نتایج بخش مدلسازی |
| ۱۱۵ | ۲-۶ کاربرد شبکه‌های عصبی در پیش‌بینی راندمان جداسازی در شوینده‌های ونتوری |
| ۱۱۹ | ۳-۶ بهینه‌سازی شبکه‌های عصبی با استفاده از الگوریتم ژنتیک |
| ۱۳۲ | فصل هفتم بحث، نتیجه‌گیری و پیشنهادات |
| ۱۳۳ | ۱-۷ بحث و نتیجه‌گیری |
| ۱۳۸ | ۲-۷ پیشنهادات |
| ۱۳۹ | منابع |
| ۱۴۳ | پیوست الف معادلات جداسازی مورد نیاز جهت برنامه‌نویسی کامپیوتری |
| ۱۴۴ | الف-۱ توزیع غلظت قطرات |
| ۱۴۸ | الف-۲ توزیع غلظت آلاینده‌ها در فاز گاز |
| ۱۴۸ | الف-۲-۱ جذب در محلول هیدروکسید سدیم غلظت |
| ۱۵۱ | الف-۲-۲ جذب در آب |
| ۱۵۶ | الف-۲-۳ جذب در محلول هیدروکسید سدیم رقیق |

فهرست شکلها و نمودارها

| | |
|-----|---|
| ۶ | شکل ۱-۱ تهشین کنندهٔ ثقلی |
| ۷ | شکل ۲-۱ سیکلون |
| ۷ | شکل ۳-۱ برج آپیاش |
| ۹ | شکل ۴-۱ شویندهٔ ونتوری |
| ۳۴ | شکل ۱-۲ موازنۀ جرم در یک حجم کترول در جریان گاز برای آلاینده‌ها |
| ۳۷ | شکل ۲-۲ موازنۀ جرم در یک حجم کترول برای جریان قطرات |
| ۴۲ | شکل ۳-۲ موازنۀ نیرو بر یک المان دیفرانسیلی |
| ۵۷ | شکل ۴-۲ موازنۀ شارها در یک حجم کترول |
| ۵۷ | شکل ۵-۲ سلولها در هر سطح مقطع |
| ۶۲ | شکل ۶-۲ شرط مرزی برای سلول ۱ |
| ۶۳ | شکل ۷-۲ شرط مرزی برای سلول ۷ |
| ۷۸ | شکل ۱-۴ مشخصات اصلی یک نرون بیولوژیک |
| ۸۰ | شکل ۲-۴ شبکه با یک نرون |
| ۹۲ | شکل ۳-۴ تابع انتقال تانزانت سیگموید |
| ۹۲ | شکل ۴-۴ تابع انتقال تانزانت هایپربولیک |
| ۹۸ | شکل ۱-۵ شکل‌های مختلف عملگر پیوند |
| ۱۰۱ | شکل ۲-۵ صفحۀ گرافیکی NeuroSolution |
| ۱۰۴ | شکل ۱-۶ مشخصات فیزیکی ونتوری مورد استفاده توسط ویسواناتان |
| ۱۰۵ | شکل ۲-۶ سرعت گاز و قطره در طول شوینده ویسواناتان |
| ۱۰۶ | شکل ۳-۶ مقایسه نتایج مدل با داده‌های تجربی ویسواناتان و همکاران برای $L/G = 0.0004 m^3/m^3$ و اعداد پکلت مختلف. |
| ۱۰۶ | شکل ۴-۶ مقایسه نتایج مدل با داده‌های تجربی ویسواناتان و همکاران برای $L/G = 0.00093 m^3/m^3$ و اعداد پکلت مختلف |
| ۱۰۶ | شکل ۵-۶ مقایسه نتایج مدل با داده‌های تجربی ویسواناتان و همکاران برای $L/G = 0.00147 m^3/m^3$ و |

- اعداد پکلت مختلف ۱۰۷
- شکل ۶-۶ مقایسه نتایج مدل با داده‌های تجربی ویسواناتان و همکاران برای $L/G = 0.00179 m^3/m^3$ و اعداد پکلت مختلف ۱۰۷
- شکل ۶-۷ مقایسه نتایج مدل با مدل فتحی و همکاران و داده‌های تجربی برای $L/G = 0.0004 m^3/m^3$ ۱۰۸
- شکل ۶-۸ مقایسه نتایج مدل با مدل فتحی و همکاران و داده‌های تجربی برای $L/G = 0.00093 m^3/m^3$ ۱۰۸
- شکل ۶-۹ مقایسه نتایج مدل با مدل فتحی و همکاران و داده‌های تجربی برای $L/G = 0.00147 m^3/m^3$ ۱۰۹
- شکل ۶-۱۰ مقایسه نتایج مدل با مدل فتحی و همکاران و داده‌های تجربی برای $L/G = 0.00179 m^3/m^3$ ۱۰۹
- شکل ۶-۱۱ سرعت گاز و قطره در طول شوینده جانسون و همکاران ۱۱۰
- شکل ۶-۱۲ مقایسه نتایج مدل با داده‌های تجربی جانسون و همکاران برای $L = 0.242 GPM$ ۱۱۱
- شکل ۶-۱۳ مقایسه نتایج مدل با داده‌های تجربی جانسون و همکاران برای $L = 0.134 GPM$ ۱۱۱
- شکل ۶-۱۴ اثر دبی مایع روی نرخ جذب و مقایسه نتایج مدل با داده‌های تجربی جانسون و همکاران ۱۱۲
- شکل ۶-۱۵ سرعت گاز و قطره در طول شوینده $O.A.P$ ۱۱۳
- شکل ۶-۱۶ پیش‌بینی غلظت فاز مایع در امتداد شوینده و مقایسه نتایج مدل با داده‌های تجربی $O.A.P$ برای آب ۱۱۳
- شکل ۶-۱۷ پیش‌بینی غلظت فاز مایع در امتداد شوینده و مقایسه نتایج مدل با داده‌های تجربی $O.A.P$ برای هیدروکسید سدیم ۰/۰۱ نرمال ۱۱۴
- شکل ۶-۱۸ پیش‌بینی غلظت فاز مایع در امتداد شوینده و مقایسه نتایج مدل با داده‌های تجربی $O.A.P$ برای هیدروکسید سدیم ۰/۰۳ نرمال ۱۱۴
- شکل ۶-۱۹ طرح شماتیک شبکه‌های عصبی ۱۱۷
- شکل ۶-۲۰ میانگین مجدور خطأ برای مقادیر متفاوتی از تعداد نرونها در لایه مخفی در شبکه اول ۱۱۷
- شکل ۶-۲۱ نتایج مرحله آموزش شبکه اول ۱۱۸
- شکل ۶-۲۲ نتایج مرحله آموزش شبکه دوم ۱۱۸

- شکل ۶-۲۳- نتایج مرحله شبیه‌سازی شبکه اول ۱۱۹
- شکل ۶-۲۴- نتایج مرحله شبیه‌سازی شبکه دوم ۱۱۹
- شکل ۶-۲۵- بهترین عدد برازنده‌گی (عکس *MSE*) در کل نسلها بر حسب شماره نسل در شبکه اول ۱۲۰
- شکل ۶-۲۶- بهترین عدد برازنده‌گی (عکس *MSE*) در کل نسلها بر حسب شماره نسل در شبکه دوم ۱۲۱
- شکل ۶-۲۷- بهترین عدد برازنده‌گی (عکس *MSE*) در کل نسلها بر حسب شماره نسل در شبکه سوم ۱۲۱
- شکل ۶-۲۸- بهترین عدد برازنده‌گی (عکس *MSE*) در کل نسلها بر حسب شماره نسل در شبکه چهارم ۱۲۱
- شکل ۶-۲۹- متوسط عدد برازنده‌گی (عکس *MSE*) در هر نسل بر حسب شماره نسل در شبکه اول ۱۲۲
- شکل ۶-۳۰- متوسط عدد برازنده‌گی (عکس *MSE*) در هر نسل بر حسب شماره نسل در شبکه دوم ۱۲۲
- شکل ۶-۳۱- متوسط عدد برازنده‌گی (عکس *MSE*) در هر نسل بر حسب شماره نسل در شبکه سوم ۱۲۲
- شکل ۶-۳۲- متوسط عدد برازنده‌گی (عکس *MSE*) در هر نسل بر حسب شماره نسل در شبکه چهارم ۱۲۳
- شکل ۶-۳۳- مقایسه داده‌های تجربی با نتایج شبیه‌سازی شبکه اول توسط GA-ANNs ۱۲۴
- شکل ۶-۳۴- مقایسه داده‌های تجربی با نتایج شبیه‌سازی شبکه دوم توسط GA-ANNs ۱۲۵
- شکل ۶-۳۵- مقایسه داده‌های تجربی با نتایج شبیه‌سازی شبکه سوم توسط GA-ANNs ۱۲۵
- شکل ۶-۳۶- مقایسه داده‌های تجربی با نتایج شبیه‌سازی شبکه چهارم توسط GA-ANNs ۱۲۵
- شکل ۶-۳۷- نتایج شبیه‌سازی شبکه اول توسط مدل GA-ANNs ۱۲۶
- شکل ۶-۳۸- نتایج شبیه‌سازی شبکه دوم توسط مدل GA-ANNs ۱۲۶
- شکل ۶-۳۹- نتایج شبیه‌سازی شبکه سوم توسط مدل GA-ANNs ۱۲۶
- شکل ۶-۴۰- نتایج شبیه‌سازی شبکه چهارم توسط مدل GA-ANNs ۱۲۷
- شکل ۶-۴۱- اثر قطر ذره بر راندمان جداسازی شبکه اول (شوینده ونتوری مستطیلی) برای $L/G = 0.00144m^3/m^3$ ۱۲۸
- شکل ۶-۴۲- اثر قطر ذره بر راندمان جداسازی شبکه اول (شوینده ونتوری مستطیلی) برای $L/G = 0.001733m^3/m^3$ ۱۲۸
- شکل ۶-۴۳- اثر سرعت گاز در گلوگاه بر راندمان جداسازی شبکه اول (شوینده ونتوری مستطیلی) ۱۲۹
- شکل ۶-۴۴- اثر نسبت دبی مایع به گاز بر ضریب *f* شبکه سوم (شوینده ونتوری مدور) ۱۲۹
- شکل ۶-۴۵- اثر قطر ذره بر ضریب *f* شبکه سوم (شوینده ونتوری مدور) برای $L/G = 0.003743m^3/m^3$ ۱۳۰

- شکل ۶-۴ اثر قطر ذره بر ضریب f شبکه سوم (شوینده ونتوری مدور) برای $L/G = 0.00454m^3/m^3$ ۱۳۰
- شکل ۶-۵ اثر سرعت گاز در گلوگاه بر ضریب f شبکه سوم (شوینده ونتوری مستطیلی) ۱۳۱
- شکل ۶-۶ مقایسه مدل ریاضی با مدل طلایی و همکاران و داده‌های تجربی جانسون و همکاران در $L = 0.242GPM$ برای حذف SO_2 از جریان گاز در محلول هیدروکسید سدیم ۰/۶ نرمال ۱۳۲
- شکل ۶-۷ مقایسه مدل ریاضی با مدل طلایی و همکاران و داده‌های تجربی جانسون و همکاران در $L = 0.134GPM$ برای حذف SO_2 از جریان گاز در محلول هیدروکسید سدیم ۰/۶ نرمال ۱۳۴
- شکل ۶-۸ مقایسه مدل با مدل طلایی و همکاران و داده‌های تجربی $O.A.P$ برای حذف SO_2 از جریان گاز در آب ۱۳۵
- شکل ۶-۹ مقایسه مدل با مدل طلایی و همکاران و داده‌های تجربی $O.A.P$ برای حذف SO_2 از جریان گاز در محلول رقیق هیدروکسید سدیم ۱۳۵
- شکل ۶-۱۰ مقایسه مدل با مدل طلایی و همکاران و داده‌های تجربی $O.A.P$ برای حذف SO_2 از جریان گاز در محلول رقیق هیدروکسید سدیم ۱۳۶
- شکل ۶-۱۱ مقایسه داده‌های آزمایشگاهی با $GA-ANNs$ و مدل آناتنانارایانان و ویسواناتان ۱۳۷

فهرست جداول

| | |
|-----|--|
| ۱۱۵ | جدول ۱-۶ دامنه داده‌های تجربی مورد استفاده در شبکه اول |
| ۱۱۶ | جدول ۲-۶ دامنه داده‌های تجربی مورد استفاده در شبکه دوم |
| ۱۱۶ | جدول ۳-۶ دامنه داده‌های تجربی مورد استفاده در شبکه سوم |
| ۱۱۶ | جدول ۴-۶ دامنه داده‌های تجربی مورد استفاده در شبکه چهارم |
| ۱۲۳ | جدول ۵-۶ نتایج آموزش شبکه اول با مدل GA-ANNs |
| ۱۲۳ | جدول ۶-۶ نتایج آموزش شبکه دوم با مدل GA-ANNs |
| ۱۲۳ | جدول ۶-۷ نتایج آموزش شبکه سوم با مدل GA-ANNs |
| ۱۲۴ | جدول ۶-۸ نتایج آموزش شبکه چهارم با مدل GA-ANNs |
| ۱۲۴ | جدول ۶-۹ نتایج شبیه‌سازی شبکه ها با مدل GA-ANNs |
| ۱۳۷ | جدول ۱-۷ مقایسه روش‌های مختلف آموزش برای شبکه‌ها بر اساس ضریب همبستگی و میانگین محدود خطاط |

فهرست علائم و نشانه ها

A_c : سطح مقطع هسته جریان m^2

A : سطح مقطع m^2

C : نسبت دبی جرمی قطرات به دبی جرمی کل مایع

C_D : ضریب دراگ

kg/m^3 $NaOH$: غلظت اولیه C''

$grmol/m^3$ No/m^3 : غلظت گاز C_g

$grmol/m^3$: غلظت مایع C_l

C_g/C_{g0} : غلظت بدون بعد گاز

$grmol/m^3$: غلظت اولیه گاز C_{g0}

m : قطر میانگین قطرات D_d

m : قطر هیدرولیک گلوگاه شوینده D_H

m^2/s B در A : ضریب نفوذ جزء در D_{AB}

m^2/s : ضریب نفوذ در گازها D_g

m^2/s : ضریب نفوذ در مایع D_l

m^2/s در آب $NaOH$: نفوذ D''

m^2/s در آب SO_2 : نفوذ D'

m^2/s : نفوذ گردابهای E

F : شار موضعی به شار یکنواخت

f : ضریب اصطکاکی

m^3/s : دبی حجمی گاز G

m : عرض گلوگاه شوینده H

i : نسبت مولی SO_2 به $NaOH$

m/s : ضریب انتقال جرم بر مبنای فاز مایع K_l

m/s : ضریب انتقال جرم بر مبنای فاز گاز K_g

- K : ثابت تعادل واکنش $grmol/lit$
- L_0 : دبی حجمی مایع ورودی به ونتوری m^3/s
- L : طول گلوگاه شوینده m
- L^{**} : طول نفوذ جت مایع m
- I_g : طول اختلاط پرانتل گاز m
- I_d : طول اختلاط قطرات m
- m : نسبت دبی جرمی مایع به گاز
- N_A : میزان انتقال جرم جزء A در نتیجه واکنش شیمیایی $grmol/m^2s$
- \dot{N} : تعداد قطرات در هر ثانیه No/s
- N_{pe} : عدد بدون بعد پکلت
- N_{μ_l} : عدد بدون بعد ویسکوزیته مایع
- N_{Re} : عدد بدون بعد رینولدز
- N_{Sc} : عدد بدون بعد اشمیت
- N_{Sh} : عدد بدون بعد شروود
- P : فشار
- P_{SO_2} : فشار جزئی SO_2
- Q : دبی حجمی m^3/s
- S : توان منع No/m^3s
- T : دما K
- U_g : سرعت بدون بعد گاز V_g/V_{g0}
- U_d : سرعت بدون بعد قطرات V_d/V_{gth}
- V : سرعت m/s
- V_{g0} : سرعت گاز در گلوگاه m/s
- V'_g : سرعت متوسط نوسانات گاز m/s
- V_0 : سرعت برشی m/s
- V_r : سرعت جت مایع m/s

V_s : سرعت ظاهري

W : ضخامت شوينده

W : دني جرمي

We : عدد بدون بعد وبر

x : طول

y : عرض

z : ضخامت

X_c : كيفيت سيال هسته

x/L : طول بدون بعد

y/H : عرض بدون بعد

Z : ضخامت بدون بعد

α_c : جزئی از گلوگاه که توسط سيال هسته اشغال شده

α_g : جزء حجمی سيال هسته که توسط گاز اشغال شده

δ : ضخامت فيلم مایع

ρ : دانسیته

μ : ویسکوزیته

N/m : کشش سطحی

τ : تنش برشی

ε : زبری دیواره

ϕ : فاکتور افزایش انتقال جرم

زیرنویسها

c : هسته

d : قطره

f : فيلم مایع

g : گاز

l : مایع

o : نازل

فصل اول

مقدمہ